

## 分級フライアッシュを用いた遠赤外線養生コンクリートの品質について

株四国総合研究所 正会員 ○石井光裕

" 浮田和明

" 正会員 重松俊一

" 村上俊夫

1.はじめに

2度に亘るオイルショックを契機とするエネルギーの多様化政策の一環として、石炭火力が見直された結果、副産物としての石炭灰が大量に発生しており、昭和65年度末には500～600万tの発生量が見込まれている。しかし、その処理あるいは利用技術に関しては大半が埋立処分され、有效地に大量利用はされていないのが実情である。

こうしたことから、石炭灰の中で90%近くを占めるフライアッシュについて、有効利用を図る観点から、これを気流分級して得た微細粒分の“分級フライアッシュ”について研究を実施中である。<sup>1) 2)</sup>

本文は、分級フライアッシュのコンクリート製品への適用性を把握することを主な目的として実施した、室内試験の結果の一部を述べたものである。

2. 試験概要

試験に用いた材料を表-1に、スランプ $6 \pm 1\text{ cm}$ 、空気量 $4 \pm 1\%$ の条件のもとで試し練りによって求めたコンクリートの配合を表-2に、試験項目と方法を表-3に、試験に用いた遠赤外線養生試験装置を写真-1に、養生方法を図-1に示す。

表-1 使用材料一覧表

名 称		主 な 物 性 値					
フア	原 粉	比重 2.28, 比表面積 3,500cm <sup>2</sup> /g, 平均粒径 1.76μm					
ラッ	F A 20	比重 2.31, 比表面積 5,500cm <sup>2</sup> /g, 平均粒径 7.5μm					
イシ	F A 10	比重 2.46, 比表面積 10,000cm <sup>2</sup> /g, 平均粒径 2.8μm					
ユ	F A 5	比重 2.48, 比表面積 10,800cm <sup>2</sup> /g, 平均粒径 2.3μm					
普通骨材	比重 3.16, 比表面積 3,150cm <sup>2</sup> /g						
粗 骨 材	碎石, 最大寸法 1.5mm, 比重 2.64, 吸水率 0.79%						
細 骨 材	海砂, 比重 2.54, 吸水率 1.33%						
選択材	AE減水剤 主成分: リグニンスルホ酸塩系						
	A E 助剤 主成分: 高アルキルカルボン酸系						

表-2 コンクリート配合

ケース記号	W/C (%)	単 位 量 (kg/m <sup>3</sup> )					
		W	C	F	S	G	A E 剤
C	57.4	178.4	310	-	851	928	0.775
原粉20	56.8	176.0	248	62	844	920	0.775 0.930
原粉30	54.5	168.8	217	93	848	925	0.775 2.790
F A 2020	56.8	176.0	248	62	844	921	0.775 4.650
F A 2030	54.5	168.8	217	93	849	925	0.775 4.650
F A 1020	56.8	176.0	248	62	846	923	0.775 2.790
F A 1030	54.5	168.8	217	93	852	929	0.775 3.720
F A 520	56.8	176.0	248	62	847	923	0.775 2.790
F A 530	54.5	168.8	217	93	852	930	0.775 3.720

表-3 試験項目と方法

	試験項目	試 験 方 法	時 (H)	備 考
フレッシュ	スランプ	コンクリートのスランプ試験方法 JIS A 1101		試し練り
コンクリート	空 気 量	まだ固まらないコンクリートの空気量の圧力による試験方法 JIS A 1128		"
硬 化	曲げ強度	セメントの強さ試験 JIS R 5201	7, 28	4x4x16cm
コンクリート	圧縮強度	セメントの強さ試験 "	7, 28	曲げ試験後の切片
	PC鋼筋	4点支持曲げ試験	28	75x75x5cm

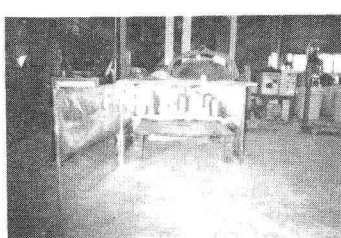


写真-1 遠赤外線養生試験装置

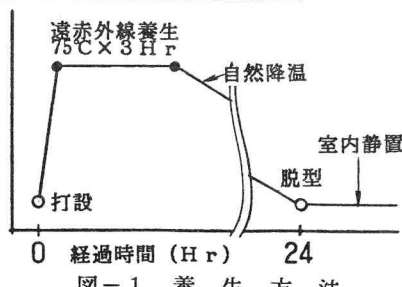


図-1 養 生 方 法

### 3. 試験結果

#### 3.1 圧縮及び曲げ強度

遠赤外線養生を行った供試体 ( $4 \times 4 \times 16\text{ cm}$ ) の圧縮強度及び曲げ強度を、それぞれ、図-2及び図-3に示す。これより、次の事項が明らかである。

① 混合率が高いほど、また、粒度が細かいほど強度が高い。

② セメント単味の場合に比べて、分級フライアッシュ (FA20, FA10, FA5) を混合すれば、同等あるいはそれ以上の強度を示す。特に、FA10, FA5 が顕著である。

③ 曲げ強度の場合も同様のことが言えるが、混合率による大きな差は見られない。

#### 3.2 PC板破壊荷重

実際の製品工場で蒸気養生により製作されていた建築用 PC 板 ( $75 \times 75 \times 5\text{ cm}$ ) を念頭に置き、これに遠赤外線養生を行い、材令 28 日で破壊荷重を求めた。その結果を図-4 に示す。これより、次の事項が明らかである。

① 前項と同じく、混合率が小さいほど、また、粒度が細かいほど破壊荷重が大きい。  
 ② セメント単味の場合に比べると、原粉、及び FA20 は破壊荷重が小さいが、一方、FA10 及び FA5 は大きい。

#### 3.3 圧縮強度と PC 板破壊荷重との相関

材令 7 日の圧縮強度と材令 28 日の PC 板破壊荷重との関係を図-5 に示す。

これより、分級フライアッシュを用いた PC 板の耐荷力は、これと同一養生を行った供試体の初期圧縮強度と良好な相関性が認められ、通常のコンクリート製品同様の品質管理が行えると考えられる。

### 4. まとめ

本研究の範囲内で、分級フライアッシュを用いた遠赤外線養生コンクリートは、従来のセメント単味の場合に比べ強度の向上が認められ、この種のコンクリート製品への利用について見通しが得られた。

#### 〔参考文献〕

- 1) フライアッシュの分級とコンクリートへの適用効果について; 石井, 重松, 藤枝 第39回土木学会中国四国支部研究発表会講演概要集 昭62.5
- 2) 分級フライアッシュによるコンクリートの品質向上について; 石井, 清田, 重松 土木学会第42回年次学術講演会講演概要集 昭62.9

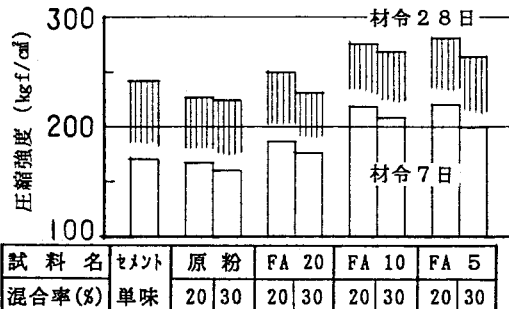


図-2 遠赤外線養生供試体の圧縮強度

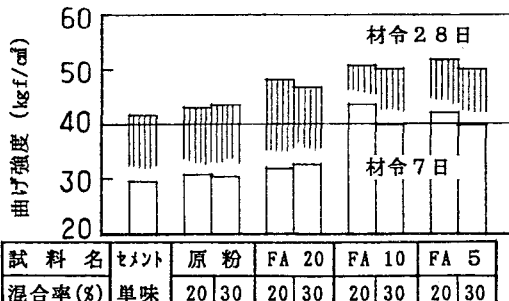


図-3 遠赤外線養生供試体の曲げ強度

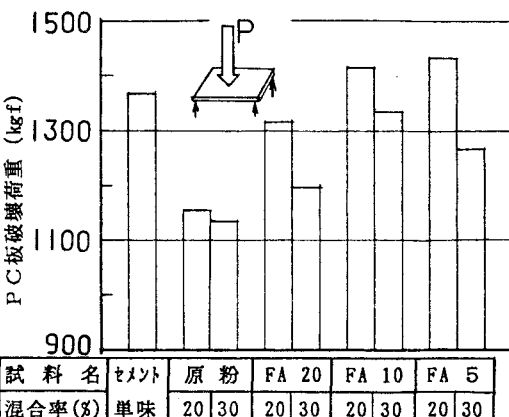


図-4 遠赤外線養生 PC 板の破壊荷重

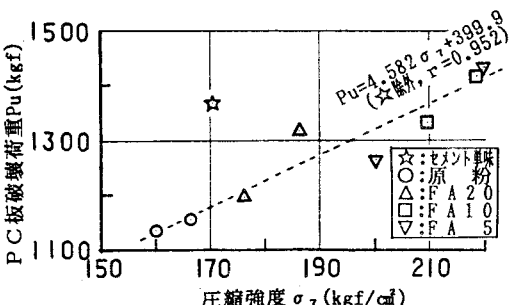


図-5 圧縮強度と PC 板破壊荷重との関係